

قياس تراكيز الرادون في تربة بعض المناطق الشمالية للعراق باستخدام كاشف الأثر النووي CR-39

نضاله حسن كاظم\*  
على مصطفى محمد\*\*

تاريخ قبول النشر 2008/11/2

الخلاصة

تم في هذا البحث قياس تراكيز غاز الرادون لأربعة وعشرون عينة ترابية موزعة في ستة مواقع لمنطقة الشمالية من العراق، عن طريق تسجيل اثار بواعث الفا المنبعثة من غاز الرادون ( $Rn^{222}$ ) في كاشف الأثر النووي (CR-39).

تم تحديد التراكيز بالحسابات المعتمدة على المقارنة مع العينات القياسية، ومن خلال النتائج المستحصلة وجدنا ان تراكيز الرادون في عينات الترب لمدينة دربنديخان تتراوح بين ( $Bq/m^3$ ) 16.60-34.04 (16.04-34.04) ولمدينة طلبة ( $Bq/m^3$ ) 16.51-23.32 (23.32-16.51) ومدينة السليمانية ( $Bq/m^3$ ) 17.61-32.25 (32.25-17.61) ولمدينة كويسبنجل (كوبية) ( $Bq/m^3$ ) 22.04-35.65 (35.65-22.04) ولمدينة شفلاوة ( $Bq/m^3$ ) 10-29.10 (29.10-10) و مدينة اربيل ( $Bq/m^3$ ) 21.10-34.63 (34.63-21.10) وان معدل تراكيز غاز الرادون في محافظة السليمانية واربيل بلغ (22.30  $Bq/m^3$ ) و ( $Bq/m^3$ ) 26.17 على التوالي. يتضح من خلال النتائج ان تراكيز الرادون في محافظة اربيل أعلى من محافظة السليمانية نسبياً.

الكلمات المفتاحية: الرادون في التربة، كاشف الأثر النووي، CR-39، تراكيز الرادون.

المقدمة

(1) 51.1 ثانية) وهو أكثر نظائر الرادون غذارة بسبب وفرة الثوريوم مقارنة باليورانيوم.

3 - الاكتينيون وهو نظير الرادون ( $Rn^{219}$ ) ينتمي إلى سلسلة الاكتينيوم ( $Ac^{227}$ ) عمره النصف (3.92 ثانية) يهمل هذا النظير غالباً عند قييم الحرارة الإشعاعية الطبيعية وذلك بسبب نصف عمره القصير.

أن ولادات الرادون تشكل خطورة كبيرة، وإذا تم استنشاق الرادون فأنها تدخل إلى الجسم وتترسب مع ذرات الغبار على الأغشية المخاطية التي تعطي القصبة الهوائية وقد تدخل إلى الرئتين وتبدأ بالانحلال ويمكن أن تنتقل مع الدم إلى أعضاء مهمة في الجسم وتترسب فيها[3].

استخدمت تقنيات مختلفة للكشف عن غاز الرادون والثورون ولولياته وقياس تراكيزهم في المواد (كالهباء والمياه والتربة، الخ)[4] وان عملية الكشف عنه سوف تستند بصورة رئيسية إلى استخدام الكواشف النووية، وهذه الكواشف على نوعين هي الكواشف السليبية (Passive Detectors) مثل كواشف الأثر النووي الصلبة (SSNTD's) والكواشف الفعلة (Active Detectors) مثل كواشف أشباه الموصلات، إن كلا الصنفين أعلىه تمتاز بحساسيتها العالية لجسيمات الفا التي تتبع من الرادون إلا أن النوع الأول يكون فضلاً عن النوع الثاني في حالة القياسات طويلة الأمد أو التي تجري في ظروف بيئية قاسية أو في أماكن بعيدة لا تتوفر فيها القدرة

الراديوم هو أحد عناصر الجدول الدوري ويقع ضمن مجموعة العناصر النبيلة (كالهيليوم والنيون والزيون وغيرها) وهو غاز شمع عديم اللون والرائحة وبسبب هذه الخواص تصعب عملية الكشف عنه. عدده الذري (86) نقطة عليه (61.8 °C) ونقطة انجماده (-71.0 °C) وكثافته (9.73  $Kg.m^{-3}$ ). [1]

يتولد غاز الرادون ( $Rn^{222}$ ) نتيجة التحلل التلقائي ( $Spontaneous Decay$ ) لعنصر الراديوم ( $Ra^{226}$ ) الذي يوجد في القشرة الأرضية والذي يعتمد على وجود اليورانيوم ( $U^{238}$ ) الذي يقدر البيولوجيون وجوده في القشرة الأرضية بنسبة [2] (3 ppm). إن العناصر الموجودة في الطبيعة تتسمى إلى أربع سلاسل انحلال رئيسية (Decay Series) هي اليورانيوم ( $U^{238}$ ) و ( $U^{232}$ ) والاكتينيوم ( $Ac^{227}$ ) والثوريوم ( $Th^{232}$ ) والبنتونيوم ( $Np^{237}$ ) تمرُّ هذه السلالس جميعها بأحد نظائر الرادون الثلاثة عدا البنتونيوم وهذه النظائر هي [1]:

1 - الرادون: وهو نظير الرادون ( $Rn^{222}$ ) و ينتمي إلى سلسلة اليورانيوم ( $U^{238}$ ) عمره النصف (3.82 يوماً) وهذا ما يساعد على الانتشار لمسافات غير قليلة.

2 - الثورون: وهو نظير الرادون ( $Rn^{220}$ ) و ينتمي إلى سلسلة الثوريوم ( $Th^{232}$ ) عمره النصف

\*جامعة بغداد كلية العلوم للبنات - قسم الفيزياء

\*\*جامعة الانبار- كلية العلوم - قسم الفيزياء

طاحونة يدوية، ومن ثم هيأت العينات بمواصفات معينة لايجاد تراكيز الرادون.

## 2-عملية التشيع لحساب تراكيز الرادون

وأضعت عينات من مسحوق الترب بوزن (12g) في على بلاستيكية محكمة الغلق وتركت لمدة (22 يوماً) للحصول على حالة التوازن الاشعاعي، بعد انتهاء المدة المحددة استبدل غطاء العلبة بغطاء آخر مثبت عليه الكاشف (CR-39) بمساحة  $1 \times lcm^2$  وتم وضع ورقة ترشيح أمام الكاشف لحبب غاز الشورون-220 مع احكام إغلاق الغطاء وذلك لعدم تسرب غاز الرادون إلى الخارج وتسجيل أثار جسيمات الفأنا الناتجة من انتقال  $Rn^{222}$  لمدة ثلاثة أيام [10, 11] كما في الشكل (1).

### 3- القسط الكيميائي والمشاهدة المجهرية

أجريت عملية القسط الكيميائي للكواشف بعد مرحلة التشغيل باستخدام محلول هيدروكسيد الصوديوم المائي ( $NaOH$ ) بعياربة (6.25N) ودرجة حرارة (°C) (60)، وطبق الكاشف (CR-39) ليوضع داخل محلول القسط لمدة ست ساعات وبعد انتهاء مدة القسط يُؤخذ الكاشف ليغسل بالماء المقطر ويجف[12]. ومن ثم يتم الكشف عن الآثار باستخدام مجهر ضوئي وذلك باختيار الكبیر المناسب وعد الآثار لوحدة المساحة ثم يقسم معدل عدد الآثار (Nave) للأنموذج (X) على المساحة المحسوبة (A) لتحصل على كثافة الآثار ( $\rho_x$ )، التشك (2) يوضح آثار شظايا الانشطار في كاشف الآثر النووي CR-39.

$$(\rho_x) = \frac{N_{ave}}{A} \quad \dots \dots \dots (1)$$

اذ ان:  $\rho_x$ : كثافة أشار  $(Track/mm^2)$ .  
 Nave : معدل الأثار الكلية ضمن المساحة  $(A)$ .  
 A : المساحة  $(mm^2)$ .

A grayscale micrograph showing a dense distribution of small, dark, circular particles. These particles vary slightly in size and density, appearing as dark specks against a lighter gray background. The distribution is somewhat uniform but with some local clustering.

الشكل (2) وضح اثار جسيمات الفا في الكاشف الاثر التوروي (CR-39)

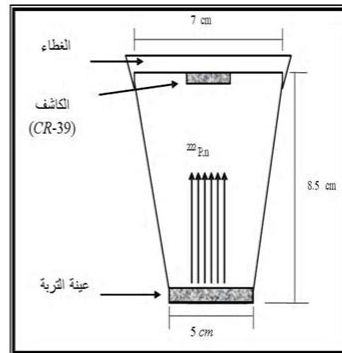
الكمبيووترية لأنها بسيطة ولا تحتاج إلى أجهزة معقدة وغير مكلفة [6,5]، وهي عبارة عن مواد صلبة عازلة كهربائياً لها القابلية على خزن تأثير الإشعاعات الموبينة على شكل تلف (ضرر) في تركيبها الداخلي والاحفاظ بها لمدة طويلة. إذ يمكن مشاهدة مناطق التلف أما باستخدام المجهر الإلكتروني مباشرة أو باستخدام المجهر الضوئي بعد معاملتها ببعض المحاليل الكيميائية القاشطة.

لقد ثبّتت العديد من الدراسات أن كاشف الأثر النمووي (*CR-39*) هو أكثر الكواشف حساسية ويستطيع أن يسجل الآثار الناتجة عن البروتونات حتى تلك التي لها طاقة وأطنة والبيورونات و دقائق ألفا والبيونات الثقيلة وغيرها، فضلاً عن ما تمتاز به هذه الكواشف من إمكانية قراءة الآثار النمووية عليها لمدة طويلة شرط عدم تعرضها إلى درجة حرارة أكثر من  $(^{\circ}C) 90$  في أثناء الخزن. وكذلك فإنها عالية التجانس وذات حساسية عالية للإشعاع فضلاً عن عدم تأثيرها بالضوء ودرجات الحرارة المعتدلة وسهولة استخدامها، إذ إنها لا تتطلب منظومة الكترونية [9].

المواد وطرق العمل:

١ جمع وتحضير العينات

تم جمع عينات من الترب في تموز 2007 من مناطق الدراسة التي شملت بعض مناطق محافظتي السليمانية و اربيل بعمق (3-10 cm) ولثلاثة اقضية من كل محافظة وبواقع أربع عينات لمناطق مختلفة من كل قضاء وكانت تلك الاقضية هي (دربنديخان و حلبة و مركز مدينة السليمانية و كويشنق (كوية) و شفلاوة و مركز مدينة اربيل). تم تجفيف العينات بدرجة حرارة (80°C) لمدة ساعتين باستخدام فرن حراري وتم غربلتها للخلص من الأجسام الغريبة وطحنت طحنا ناعماً حتى أصبحت على شكل مسحوق دقيق باستخدام



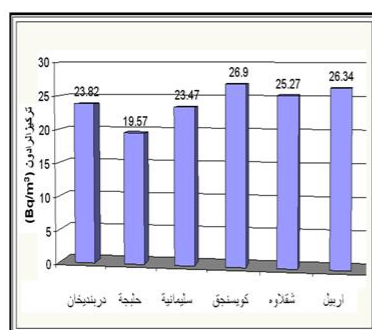
**الشكل ٤ (عالية الكاشف لتحديد ترتيب كنوز الحادون).**

خطية كما في الشكل (3) ومنها تم حساب تراكيز الرادون للعينات على وفق العلاقة (3).

$$\frac{\text{تراكيز الشاذع المجهولة } (C_s)}{\text{تراكيز الشاذع المحسوبة } (C_r)} = \frac{\text{كثافة الأثار المجهولة } (\rho_s)}{\text{كثافة الأثار المحسوبة } (\rho_r)} \quad (2)$$

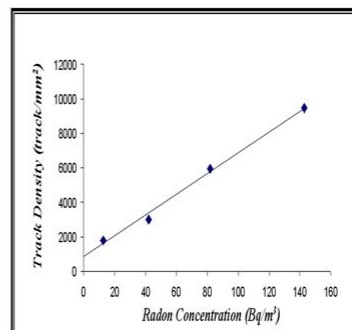
وحيث تراكيز الرادون في عينات الترب باستخدام العلاقة الآتية:

$$C_s = (C_r / \rho_s) \times \rho_x = \rho_x / \text{Slope} \quad \dots\dots (3)$$



الشكل (4) يوضح تراكيز الرادون في عينات الترب لمحافظتي السليمانية واربيل

تمت المعايرة لتحديد تراكيز الرادون باستخدام عينات قياسية تحتوي على تراكيز معلومة من اليورانيوم وتعرض الكواشف لها لمدة ثلاثة أيام وبظروف التشبع نفسها للعينات المراد دراستها وتم حساب التعرض لغاز الرادون بوحدات (Bq/m³). بعد مدة التشبع أجريت عملية القسط الکيميائي وحسبت أثار جسيمات ألفا المنبعثة من غاز الرادون الذي هو أحد نواتج احتلال سلسلة اليورانيوم ورسمت العلاقة البيانية بين التعرض للرادون (Bq/m³) وكثافة الأثار وكانت العلاقة



الشكل (3) يوضح علاقة كثافة الأثار مع تراكيز الرادون لعينات الترب القياسية

الجدول (1) يبين كثافة الأثار و معدن تركيز الرادون لأربعة مواقع في ستة مناطق ضمن مناطق الدراسة.

المحافظة	الموقع	المناخ	كثافة الأثار (Track/mm²)	تراكيز الرادون (Bq/m³)	معدن التركيز لكل محافظة (Bq/m³)
الإسكندرية	السليمانية	S <sub>1</sub>	975 ± 144.6	16.60	23.82 ± 7.41
		S <sub>2</sub>	1230 ± 83.9	21.00	
		S <sub>3</sub>	2000 ± 83.4	34.04	
		S <sub>4</sub>	1395 ± 192.2	23.74	
	الموصل	S <sub>5</sub>	1035 ± 79.55	17.61	19.57 ± 3.10
		S <sub>6</sub>	970 ± 11.07	16.51	
		S <sub>7</sub>	1225 ± 65.12	20.85	
		S <sub>8</sub>	1370 ± 122.0	23.32	
	الشمالية	S <sub>9</sub>	1035 ± 145.3	17.61	23.47 ± 6.22
		S <sub>10</sub>	1320 ± 104.7	22.46	
		S <sub>11</sub>	1895 ± 382.8	32.25	
		S <sub>12</sub>	1265 ± 119.0	21.53	
الأنبار	البيضاء	S <sub>13</sub>	1525 ± 82.7	26.00	26.90 ± 6.05
		S <sub>14</sub>	1405 ± 160.1	24.00	
		S <sub>15</sub>	1295 ± 151.7	22.04	
		S <sub>16</sub>	2095 ± 162.8	35.65	
	النيلية	S <sub>17</sub>	1240 ± 95.1	21.10	25.27 ± 4.24
		S <sub>18</sub>	1300 ± 156.1	22.12	
		S <sub>19</sub>	1690 ± 131.6	28.76	
		S <sub>20</sub>	1710 ± 138.0	29.10	
	الديوانية	S <sub>21</sub>	1385 ± 99.0	23.57	26.34 ± 5.62
		S <sub>22</sub>	1310 ± 106.0	22.30	
		S <sub>23</sub>	1460 ± 126.5	24.00	
		S <sub>24</sub>	2035 ± 89.82	34.63	

ما نقدم نلاحظ ان معدن تراكيز غاز الرادون السليمانية هي (22.30 Bq/m³) ولمحافظة اربيل هي (26.17 Bq/m³).

- College of Education/Ibn Al-Haitham.
5. Al-Ataby, Neshat R., 2005 .Study of Environmental Radioactivity in the Soil of Al-Tuwaitha Zone and its Surrounding Sides. Ph.D. Thesis, Baghdad University, College of Science.
6. Al-Baidhani, Mustafa A., 2006 .Determination of the Radioactivity in Soil and Water in Baghdad, Karbala and Basrah Samples. M. Sc. Thesis, Al-Nahrain University, College of Science.
7. العاني، دنيا فاضل. 2000. قياس النشاط الأشعاعي للراودون المنبعث من بعض مكونات مواد البناء. رسالة ماجستير، الجامعة المستنصرية، كلية التربية.
8. Vukovic, J.B. 1990. the application of SSNTDs and nuclear emulsions in the life sconces.. Nucl. Tracks Radiation. Meas. 17 (1):61-64.
9. Durrani, S. A. and Bull, R. K, 1987. Solid State Nuclear Track Detection Principles, Methods & Application. Pergamon Press, U.K.,
10. Mahmoud, K. 2005. Assessment of radon-222 concentration in buildings, building materials, water and soil in Jordan. Applied Radiation and Isotopes. 62(1): 763-773.
11. Kullab, M. K., Al-Bataina, B. A., Ismail, A. M. and Abumurad, K. M., Seasonal variation of radon-222 concentration in specific locations in Jordan. Radiation Measurements. 34 (1): 361-364.
12. سعيد، بشائر محمد 1998. تحديد تراكيز الراودون في الابنية باستخدام كاشف الاثر النووي CR-39. رسالة ماجستير، جامعة بغداد، كلية التربية (ابن الهيثم).
13. World Health Organization, WHO. 1993. Guidelines for drinking-water quality. 2<sup>nd</sup>., Geneva.

ان الاستنتاجات التي تم الوصول اليها من خلال الدراسة الحالية هي ان تقديرية عد آثار جسيمات ألفا لتحديد تراكيز غاز الراودون في عينات الترب باستخدام كاشف الاثر النووي (CR-39) من التقنيات الجيدة والمناسبة لدراسة النشاط الإشعاعي اذ أنها سهلة الاستخدام ولا تحتاج الى منظومة الكترونية.

ان معدلات تراكيز الراودون في عينات الترب في محافظة السليمانية تراوحت بين  $Bq/m^3$  (19.57-23.82) وفي محافظة اربيل  $Bq/m^3$  (25.27-26.90) وهو اقل بكثير من حد التعرض المسموح به والتي حدته مقتضمة الصحة الدولية  $(800 Bq/m^3)$  [14].

الشكل (4) يبين تراكيز الراودون لمناطق الدراسة حيث ظهر عدم وجود تفاوت كبير في القيم وكانت التراكيز في محافظة السليمانية اقل من محافظة اربيل نسبياً وهذا يعود الى طبيعة تكوين التربة. ومن خلال الدراسة تبين ان عدم وجود الملوثات وعامل الطاقة النووية ومتناهات تصنيع المواد المشعة وعدم تعرض هذه المناطق لأحداث حربي عام 1991 وعام 2003 دور كبير في عدم تلوث المنطقة، علماً بان منطقة دراستنا كانت قريبة من المناطق السكنية والزراعية ومن اطراف المدينة.

#### المصادر

- الجار الله، محمد بن ابراهيم. 2006. نظرية عامة حول الراودون في المساكن. الذرة والتنمية. 18 (1): 25.
- Al-Taamimi, M. H. and Abumurad, K. M. 2001. Radon anomalies along faults in north Jordan. Radiation Measurements. 34 (1): 397-400.
- الأحمد، خالد عبيد. 1993. مقدمة في الفيزياء الصحية. وزارة التعليم العالي والبحث العلمي، جامعة الموصل، العراق. 494.
- Al-Ubidi, Khalid H. M., 2006. Identification and Measurement of Natural and Industrial Radioactive Pollutants in Environment of Baghdad City Using Gamma Spectrometry and Solid State Nuclear Track Detector CR-39. Ph.D. Thesis, Baghdad University,

## Radon concentration measurement in soil for some northen Iraqi's regions by using CR-39 detector

Nidhala H.K. AL-Ani\*

Ali Mustafa Mohammed\*\*

\*University of Baghdad/College of Science for Women/ Department of Physics  
\*\* University of AL-Anbar / College of Science/Department of Physics

### Abstract

Concentrations of radon were measured in this study for twenty-four samples of soil distributed in six locations on the north part of Iraq. The radon concentrations in soil samples measured by using alpha-emitters registration that emits from Radon ( $^{222}Rn$ ) in (CR-39) track detector.

The concentrations values were calculated by a comparison with standard samples. The results shows that the radon gas concentrations in Darbandikhan City varies from (16.60-34.04  $Bq/m^3$ ), Halabja City (16.51-23.32  $Bq/m^3$ ), Al Sulaimaniya City (17.61-32.25  $Bq/m^3$ ), Koisnjaq City (22.04-35.65  $Bq/m^3$ ), Shaqlaua City (21.10-29.10  $Bq/m^3$ ) and Erbil City (22.30-34.63  $Bq/m^3$ ). The average radon gas concentration in Al Sulaimaniya and Erbil governorate are (22.30  $Bq/m^3$ ) and (26.17  $Bq/m^3$ ) respectively. As a conclusion from the study Radon concentration in governorate of Erbil is relatively higher than that in governorate of Al Sulaimaniya.